

⑫

DEMANDE DE BREVET D'INVENTION

A1

⑲ Date de dépôt : 20.12.01.

⑳ Priorité :

④③ Date de mise à la disposition du public de la
demande : 27.06.03 Bulletin 03/26.

⑤⑥ Liste des documents cités dans le rapport de
recherche préliminaire : *Se reporter à la fin du
présent fascicule*

⑥⑦ Références à d'autres documents nationaux
apparentés :

⑦① Demandeur(s) : VALEO CLIMATISATION Société ano-
nyme — FR.

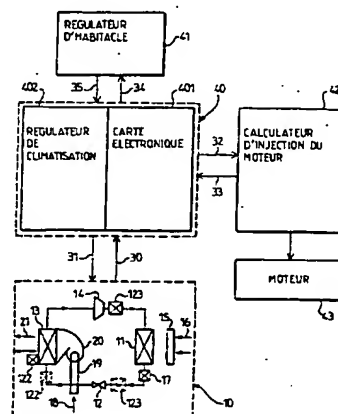
⑦② Inventeur(s) : BEN YAHIA MOHAMED.

⑦③ Titulaire(s) :

⑦④ Mandataire(s) : CABINET NETTER.

⑤④ INSTALLATION DE CLIMATISATION DE VEHICULE MUNIE D'UN DISPOSITIF ELECTRONIQUE DE
CONTROLE.

⑤⑦ L'invention propose une installation de climatisation munie d'un calculateur d'injection (42), d'un appareil de climatisation et d'un dispositif électronique de contrôle (401). L'installation comprend en outre des organes de mesures permettant d'établir des valeurs relatives à la température du flux d'air extérieur à l'entrée du condenseur, à la pression en sortie du compresseur (123), et à la pression en entrée du compresseur (122). Le dispositif électronique de contrôle (401) met en oeuvre la résolution d'une équation linéaire, liant le débit massique du fluide frigorigène aux valeurs mesurées par les organes de mesure pour calculer une estimation d'une grandeur relative au fluide frigorigène. A partir de cette grandeur, le dispositif électronique peut estimer la puissance absorbée par le compresseur (14).



Installation de climatisation de véhicule munie d'un dispositif électronique de contrôle

5

L'invention concerne les circuits de climatisation des véhicules à moteur.

Dans les véhicules à moteur classiques, le compresseur du circuit de climatisation est entraîné par le moteur et consomme donc une partie de la puissance du moteur. Bien que la puissance absorbée par le compresseur, quand il est en marche, ne soit pas importante, elle influe tout de même sur le rendement du moteur. En diminuant le rendement du moteur, la puissance absorbée réellement par le compresseur augmente la consommation de carburant et la pollution générée par les gaz d'échappement du véhicule.

15 Pour optimiser le rendement du moteur, une solution consiste à estimer la puissance instantanée réellement absorbée par le compresseur. La connaissance de cette information permet, en effet, d'adapter les paramètres d'injection du moteur aux besoins réels. En l'absence de cette information, le calculateur d'injection choisit, par défaut, des paramètres d'injection correspondant à la valeur maximale de la puissance absorbée, valeur qui est
20 rarement atteinte en pratique.

Cet inconvénient peut concerner les compresseurs mécaniques à contrôle interne qui fonctionnent par l'intermédiaire de l'embrayage interposé entre le moteur et le compresseur. En mode régulé, les compresseurs à contrôle interne adaptent leur cylindrée suivant une loi
25 linéaire reliant la valeur de la pression en entrée du compresseur, dite basse pression à la valeur de sortie du compresseur, dite haute pression. Pourtant, il arrive que la puissance réellement absorbée par le compresseur soit inférieure à sa puissance nominale.

De tels compresseurs absorbent une puissance qui dépend des conditions de fonctionnement et qui ne peut donc être réduite, même si on connaît la puissance réellement absorbée par le
30 compresseur. En revanche, il est possible de réguler le fonctionnement de la climatisation en débrayant le compresseur lorsque la puissance n'est pas acceptable.

Cet inconvénient est encore plus gênant pour les compresseurs à contrôle externe, dont l'utilisation se généralise.

En effet, dans les compresseurs mécaniques à contrôle externe, la puissance réellement absorbée par le compresseur est souvent inférieure à sa puissance nominale. Par suite, l'injection doit compenser l'écart entre la puissance mécanique nominale et la puissance mécanique réellement absorbée, ce qui diminue le rendement du moteur.

Dans des réalisations connues, on utilise une cartographie qui fournit une estimation de la puissance instantanée absorbée par le compresseur en fonction de la valeur instantanée de la haute pression mesurée par un premier capteur et d'une information relative au fonctionnement du véhicule mesurée par un deuxième capteur. Ce dispositif est un dispositif empirique qui se base sur une cartographie établie à partir de tests, implantée dans le

Cette méthode présente l'inconvénient de ne pas prendre en compte tous les cas possibles et reste donc approximative.

Dans le cas des compresseurs électriques, on dispose facilement de la valeur instantanée de la puissance absorbée par le compresseur car la cylindrée de ces compresseurs - et donc le débit massique du fluide frigorigène absorbé - est connue. Cependant, pour ce type de compresseurs, le problème se pose d'anticiper le dépassement de la puissance électrique maximale absorbée par le compresseur lorsque la vitesse de rotation du compresseur augmente. En effet, si les réalisations existantes permettent de connaître la valeur instantanée de la puissance électrique consommée, elles ne permettent pas de prévoir la valeur que prendra cette puissance en fonction de l'évolution de la vitesse de rotation. Cette incapacité de prévoir le seuil de dépassement de cette vitesse critique du compresseur n'autorise que des solutions a posteriori. Une de ces solutions consiste à déclencher la sécurité interne du moteur pour limiter la puissance absorbée par le compresseur et donc la vitesse.

La plupart des réalisations existantes utilisent des méthodes empiriques pour ajuster la puissance absorbée par le compresseur. On avait toutefois estimé qu'il existait une relation simple entre la haute pression et la puissance absorbée par le compresseur. Cependant, un dispositif reposant sur une telle relation n'a pas été réalisé.

5

C'est un but de la présente invention de proposer un dispositif permettant de fournir, une estimation de la puissance absorbée, à partir d'une relation simple entre le débit massique du fluide frigorigène à la haute pression.

- 10 C'est encore un but de la présente invention de fournir un tel dispositif capable d'obtenir une estimation de précision correcte.

L'invention propose à cet effet une installation de climatisation pour véhicule à moteur muni d'un calculateur d'injection. L'installation comprend un circuit fermé de fluide frigorigène
15 comprenant un compresseur, un condenseur, un détendeur et un évaporateur, le condenseur recevant un flux d'air passant par un groupe moto-ventilateur, ainsi qu'un dispositif électronique de contrôle destiné à interagir avec le circuit fermé de fluide frigorigène et le calculateur d'injection.

- 20 Avantageusement, l'installation comprend des organes de mesures permettant d'établir :

- une première valeur relative à la température du flux d'air extérieur à l'entrée du condenseur,
- une deuxième valeur relative à la pression en sortie du compresseur, dite haute pression,
- 25 - une troisième valeur relative à la pression en entrée du compresseur, dite basse pression,

le dispositif électronique de contrôle étant apte à mettre en oeuvre la résolution d'une équation linéaire, liant le débit massique du fluide frigorigène aux valeurs mesurées par le premier et le deuxième organe de mesure pour calculer une estimation d'une grandeur
30 relative au fluide frigorigène et pour estimer, à partir de cette grandeur, des mesures fournies par les dits organe de mesure et des informations transmises par le calculateur d'injection, la puissance absorbée par le compresseur.

Dans une forme de réalisation, le compresseur est un compresseur mécanique et la grandeur calculée par le dispositif électronique de contrôle est le débit massique du fluide frigorigène.

5 Dans une autre forme de réalisation, le compresseur est un compresseur électrique et la grandeur calculée par le dispositif électronique de contrôle est la haute pression du fluide frigorigène.

Selon la première forme de réalisation, le dispositif électronique de contrôle est apte à calculer une estimation du débit massique du fluide frigorigène à partir des valeurs mesurées
10 par le premier et le deuxième organe de mesure et de deux informations relatives au fonctionnement du véhicule, transmises par le calculateur d'injection.

Avantageusement, le dispositif électronique de contrôle est également apte à calculer la puissance absorbée par le compresseur à partir de l'estimation du débit massique calculée;
15 des valeurs mesurées par le deuxième et le troisième organe de mesure, et d'informations relatives au fonctionnement du véhicule, fournies par le calculateur d'injection.

Dans la deuxième forme de réalisation selon l'invention, le dispositif électronique de contrôle est apte à calculer une estimation de la haute pression du fluide frigorigène à partir
20 de la valeur mesurée par le premier organe de mesure, de la valeur du débit massique du fluide frigorigène et de deux informations relatives au fonctionnement du véhicule, transmises par le calculateur d'injection.

Avantageusement, le dispositif électronique de contrôle est apte à calculer la puissance
25 absorbée par le compresseur à partir de l'estimation de la haute pression calculée, de la valeur mesurée par le troisième organe de mesure, et d'informations relatives au fonctionnement du véhicule, fournies par le calculateur d'injection.

En complément, selon cette deuxième forme de réalisation, le dispositif électronique de
30 contrôle est capable, pour un état de départ donné, de calculer itérativement des valeurs de la puissance absorbée par le compresseur, à partir de valeurs de la haute pression correspon-

dant à de petites variations choisies de la vitesse de rotation pour estimer la vitesse de rotation maximale.

- L'invention couvre également un programme-produit, qui peut être défini comme
- 5 comprenant les fonctions pour résoudre ladite équation afin d'estimer la puissance absorbée par le climatiseur.

D'autres caractéristiques et avantages de l'invention apparaîtront à l'examen de la description détaillée ci-après, et des dessins annexés sur lesquels:

- 10 - la figure 1 représente une vue d'ensemble d'un dispositif de climatisation installé à bord d'un véhicule,
- la figure 2 est un schéma d'une installation de véhicule automobile à moteur, muni du dispositif de contrôle selon une première forme de réalisation de l'invention,
- la figure 3 est une vue analogue à la figure 2 dans une variante de réalisation,
- 15 - la figure 4 illustre la précision de l'estimation du débit massique selon l'invention,
- la figure 5 illustre la relation entre la vitesse de l'air et la vitesse du véhicule,
- la figure 6 est un diagramme illustrant la précision de l'estimation de la puissance absorbée par la climatisation, selon l'invention,
- la figure 7 représente un schéma-bloc de compresseur électrique, et
- 20 - la figure 8 est un exemple d'organigramme d'anticipation de commande de vitesse de rotation.

L'annexe A comporte les équations mathématiques principales utilisées dans l'installation.

- 25 Les dessins contiennent, pour l'essentiel, des éléments de caractère certain. Ils pourront donc non seulement servir à mieux faire comprendre la description, mais aussi contribuer à la définition de l'invention, le cas échéant.

- On se réfère tout d'abord à la figure 1 qui représente une vue d'ensemble d'un appareil de
- 30 climatisation intégré à un véhicule. L'appareil de climatisation comprend un circuit fermé de fluide frigorigène qui peut être tout fluide sous-critique, c'est-à-dire tout fluide ayant une température critique supérieure à la température de la source chaude. L'appareil de

climatisation comprend également un compresseur 14, un condenseur 11, un réservoir déshydratant 18, un détendeur 12 et un évaporateur 13, parcourus dans cet ordre par le réfrigérant. La description suivante sera faite principalement en référence au fluide frigorigène R134a à titre d'exemple non limitatif.

5

Le condenseur 11 reçoit un flux d'air extérieur 16 pour évacuer la chaleur prélevée dans l'habitacle, qui dans certaines conditions de fonctionnement est mis en mouvement par un groupe moto-ventilateur 15.

- 10 L'évaporateur 13 reçoit un flux d'air d'un pulseur 20 alimenté par un flux d'air extérieur 18 et produit un flux d'air climatisé 21 qui est envoyé vers l'habitacle du véhicule.

- La figure 2 représente l'installation, selon la présente invention, mise en place dans un véhicule automobile, éventuellement en mouvement selon une vitesse d'avancement V_a . Le
- 15 véhicule automobile est animé par un moteur 43, commandé par un calculateur d'injection 42. Le calculateur reçoit des informations de divers capteurs qu'il interprète pour ajuster les paramètres. Il peut donc fournir des informations 33 sur des valeurs instantanées relatives au fonctionnement du véhicule, et notamment la vitesse d'avancement du véhicule, la température de l'air extérieur pénétrant dans l'appareil de climatisation, la vitesse de rotation
- 20 du compresseur et la tension du groupe moto-ventilateur.

- Le véhicule est également équipé de l'appareil de climatisation 10 décrit ci-dessus, représentée schématiquement sur la figure 2. De plus, l'installation comprend un régulateur d'habitacle 41 destiné à fixer la consigne de température de l'air extérieur 18 soufflé à
- 25 l'entrée de l'évaporateur 11.

- Le calculateur d'injection du moteur peut agir sur l'appareil de climatisation grâce à un régulateur de climatisation 402. Cette liaison permet uniquement de commander la mise en marche ou l'arrêt de l'appareil de climatisation selon les conditions liées au fonctionnement
- 30 du moteur ou aux commandes externes. Par exemple, elle permet d'interdire la mise en marche de l'appareil de la climatisation lorsque le moteur est fortement sollicité.

Cette liaison 402 se limite à ce fonctionnement en "tout ou rien". En l'absence d'un dispositif pour estimer instantanément la puissance absorbée par un compresseur mécanique, ou pour estimer par anticipation la puissance absorbée par un compresseur électrique, le régulateur de climatisation 402 ne peut ajuster le fonctionnement de la boucle de climatisation.

La Demanderesse a mis en place un tel dispositif permettant d'améliorer ce fonctionnement, par l'utilisation d'une relation simple, obtenue à partir des lois de la thermodynamique entre le débit massique du fluide frigorigène et la haute pression.

Pour cela, le régulateur de l'habitacle 41, le calculateur d'injection du moteur 42 et l'appareil de climatisation 10 sont reliés à une carte électronique 401 pour un échange bidirectionnel d'informations.

La carte électronique met en oeuvre la résolution des équations qui permettent d'obtenir une estimation de la puissance absorbée par le compresseur. Elle peut transmettre des informations qui résultent de cette estimation au calculateur d'injection, par la liaison 32

La carte électronique 401 peut-être considérée comme partie intégrante du régulateur de climatisation 402. Le régulateur de climatisation 402 a notamment le rôle d'adapter la quantité de chaleur prélevée dans l'habitacle, dite puissance frigorifique, pour atteindre la consigne d'air soufflé à l'entrée de l'évaporateur. Cette consigne est préalablement indiquée au régulateur de climatisation 402 par le régulateur d'habitacle (liaison 35).

La carte électronique 401 récupère des informations 30 provenant des capteurs mis en place sur l'appareil de climatisation. Elle reçoit également des informations du calculateur d'injection du moteur 42 par la liaison 33, en particulier la vitesse d'avancement du véhicule, la tension du groupe moto-ventilateur, la vitesse de rotation de compresseur ou la température de l'air extérieur.

30

Le régulateur d'habitacle 41 échange des informations avec le régulateur de climatisation relatives à la consigne d'air soufflé à l'entrée de l'évaporateur, au moyen des liaisons 34 et 35.

- 5 Les liaisons 30, 33 et 35 de la carte électronique 401 avec l'appareil de climatisation 10, le calculateur d'injection du moteur 42 et le régulateur de l'habitacle 41 ont pour but de déterminer les valeurs instantanées de la température de condensation T_k , de la température de l'air extérieure à l'entrée du condensateur T_{ext} , de la pression en entrée du compresseur, dite basse pression BP, de la pression en sortie du compresseur dite haute pression HP, de
10 la vitesse d'avancement du véhicule V_a , de la tension du groupe moto-ventilateur GMV et de la vitesse de rotation du compresseur N.

- Les valeurs instantanées de HP et T_k étant liées par la loi de saturation des fluides, il suffit de déterminer l'une de ces deux valeurs, l'autre pouvant être déduite par la carte électronique
15 au moyen de la relation conforme à la loi de saturation des fluides. Par ailleurs, les valeurs de la vitesse d'avancement du véhicule V_a , de la tension du groupe moto-ventilateur GMV et de la vitesse de rotation du compresseur N sont des données accessibles par le calculateur d'injection du moteur.

- 20 Elles sont donc directement transmises par ce dernier à la carte électronique via la liaison 33. Plusieurs possibilités existent ensuite pour fournir à la carte électronique les autres paramètres. Notamment, la mise en place de capteurs sur l'appareil de climatisation 10 et éventuellement l'utilisation d'informations supplémentaires en provenance du calculateur d'injection 41 contribuent à obtenir ces paramètres.

- 25 La relation simple obtenue par la Demanderesse lie plus précisément le débit massique, la haute pression et d'autres paramètres relatifs au fonctionnement de l'appareil de climatisation et au fonctionnement du véhicule.

- 30 Dans une première forme de réalisation, décrite ci-après, on utilise un compresseur mécanique. Le dispositif selon cette première forme de réalisation de l'invention a pour objet d'estimer le débit massique m du fluide frigorigène traversant le circuit de climatisation et

d'estimer à partir de cette valeur la puissance mécanique P_a absorbée par la boucle de climatisation.

- La relation de l'annexe A1 indique que la connaissance de la température de condensation T_k , de la température de l'air extérieur à l'entrée du condenseur T_{ack} et de la constante A permettent d'estimer le débit massique m du fluide frigorigène.

- La liaison 33 depuis le calculateur d'injection du moteur fournit les valeurs instantanées de la vitesse d'avancement du véhicule V_a et de la tension du groupe moto-ventilateur GMV.
- 10 Ces valeurs permettent le calcul du débit massique de l'air C_{pa} et par suite de la constante A , compte tenu de la relation de l'annexe A1 qui lie A à C_{pa} (annexe A1). La figure 5 montre en effet que le débit massique de l'air est lié à la vitesse d'avancement du véhicule V_a et à la tension du groupe moto-ventilateur GMV.

- 15 Dans un mode de réalisation particulier, le dispositif comprend deux capteurs pour mesurer la température de condensation T_k , et la température de l'air extérieur à l'entrée du condenseur T_{ack} .

- Sur la figure 2, la température de condensation T_k est mesurée par le capteur 23 qui est une sonde placée à l'entrée du condenseur directement au sein du fluide frigorigène. Cet emplacement est choisi tel que le fluide frigorigène soit dans un état de mélange liquide /vapeur, par exemple à la fin de la première passe du condenseur si ce dernier contient 4 passes.

- 25 En variante, la température condensation T_k peut-être mesurée indirectement. Pour cela, on utilise le capteur 123 de la figure 3 qui mesure la valeur de la haute pression HP en sortie du compresseur. La carte électronique 401 calculera alors la valeur de la température de condensation T_k en utilisant la loi de saturation des fluides. Dans les modes de réalisation de la figure 3, le capteur 123 qui mesure la valeur instantanée de la haute pression HP peut-être
- 30 placé à tout endroit approprié entre la sortie du compresseur et l'entrée du condenseur, ou de préférence entre la sortie du condenseur et l'entrée du détendeur.

En référence à la figure 2, la température T_{ack} de l'air extérieur à l'entrée du condenseur 11 est mesurée par le capteur 25 qui est une sonde de température placée entre le groupe moto-ventilateur 15 et le condenseur 11.

- 5 Dans un autre mode de réalisation, seul un capteur est utilisé dans le circuit de climatisation pour l'estimation de la valeur instantanée du débit massique du fluide frigorigène. Ce capteur est le capteur 23 (ou 123), qui mesure la valeur instantanée de la température de condensation T_k .
- 10 En référence à la figure 3, la valeur instantanée de la température T_{ack} de l'air extérieur à l'entrée du condenseur (11) est alors calculée par la carte électronique, à partir des valeurs instantanées de la vitesse d'avancement V_a du véhicule et de la température de l'air extérieur T_{ext} en entrée du groupe moto-ventilateur fournies par le calculateur d'injection du moteur 42 et par le régulateur d'habitacle 41.

- 15 Dans tous ces modes de réalisation, les valeurs instantanées de la température de condensation T_k , et de la température de l'air extérieur à l'entrée du condenseur T_{ack} , mesurées ou calculées sont associées à la constante A, selon la relation de l'annexe A1, par la carte électronique pour calculer une estimation du débit massique de fluide frigorigène dans le
- 20 circuit de climatisation.

- La figure 4 illustre la précision de l'estimation du débit massique du fluide frigorigène circulant dans le circuit de climatisation. Le graphique de la figure 4 représente l'écart entre une première courbe correspondant aux variations du débit massique estimé du fluide
- 25 frigorigène R134a (*m134a sim*) en fonction du temps et une seconde courbe correspondant aux variations du débit massique réel du fluide frigorigène R134a (*m134a kg/h*) en fonction du temps.

- Le graphique indique un écart peu important entre les deux courbes et par conséquent une
- 30 précision satisfaisante. Cet écart est satisfaisant pour l'estimation de la puissance absorbée par le compresseur.

Avantageusement, la Demanderesse a trouvé que cette estimation du débit massique de fluide frigorigène qui offre une précision intéressante dans les conditions énoncées précédemment permettait de calculer la puissance mécanique absorbée par le compresseur.

- 5 En référence aux figures 2 et 3, le dispositif décrit précédemment est agencé pour obtenir les informations qui permettent, selon les relations des annexes A2 et A3, de calculer la puissance mécanique absorbée. Outre l'estimation du débit massique, ces informations concernent l'estimation du travail de compression isentropique W_{is} et la vitesse de rotation du compresseur N. Les constantes B, C et D et E sont liées à des paramètres de fonctionne-
- 10 ment du circuit de climatisation et donc fixées en tant que paramètres de calcul.

La carte électronique 401 estime le rapport de compression P_r à partir des valeurs de la haute pression HP et de la basse pression BP, afin de calculer le travail de compression isentropique W_{is} . La haute pression HP a été mesurée par le dispositif d'estimation du débit

15 massique, directement ou indirectement (par le calcul de la température de condensation). Par ailleurs, la vitesse de rotation du compresseur N est fournie à la carte électronique par le calculateur d'injection du moteur 42, par la liaison 33 en référence aux figures 2 et 3. Il reste à mesurer la valeur de la basse pression BP.

- 20 Dans une variante de réalisation en référence à la figure 2, la valeur instantanée de la basse pression BP est mesurée directement par un capteur 22 qui peut-être placé à tout endroit voulu entre l'évaporateur et le compresseur. Cette mesure est transmise à la carte électronique 401, par la liaison 30.

- 25 La valeur instantanée de la basse pression BP peut également être mesurée indirectement. Dans ce cas, le capteur est une sonde, désignée par la référence 122 de la figure 3, qui mesure la température d'évaporation. La température d'évaporation est, en effet, liée à la basse pression BP par la loi de saturation des fluides. Cette sonde peut-être une sonde à thermistance, de structure classique, placée dans les ailettes de l'évaporateur.

30

En variante, la basse pression pourrait être estimée indirectement à partir de la température d'air en sortie de l'évaporateur (13), de la haute pression HP, de la température d'air

extérieur T_{ext} et de la tension du pulseur. Le régulateur d'habitacle 41 peut fournir la température consigne de l'habitacle ainsi que la tension du pulseur pour calculer une estimation du débit d'air au niveau de l'évaporateur. Mais cette variante a l'inconvénient d'être peu précise.

5

La sonde en outre être placée au sein même du réfrigérant, dans un conduit ou dans le détendeur 12 par exemple.

Dans ce mode de réalisation, la valeur mesurée de la température d'évaporation est transmise
10 à la carte électronique (liaison 30) qui applique la loi de saturation des fluides pour en déduire la valeur de la basse pression BP.

La figure 6 illustre la précision de la mesure de la puissance mécanique selon cette forme de réalisation, lors de tests réalisés pour un débit massique de l'air de 2000 kg/h et d'une
15 température de l'air extérieur T_{ack} de 35°C. Le graphique montre que l'écart entre la courbe représentant la puissance mécanique absorbée par le compresseur estimée ($W_{shaft meas}$) et la puissance mécanique absorbée par le compresseur réelle ($W_{shaft sim}$) est peu important, ce qui indique d'une précision de la mesure satisfaisante. Néanmoins, cette précision dépend de la qualité et de l'estimation de T_k et de T_{ack} .

20

Le calculateur adresse alors au module d'injection du moteur la valeur estimée de la puissance mécanique absorbée par le compresseur. Le calculateur adapte alors la puissance mécanique nominale absorbée par le compresseur si celle-ci dépasse une valeur maximale définie par le calculateur à partir de cette valeur estimée. Par suite la consommation de
25 carburant est réduite et les augmentations excessives de la puissance absorbée par le compresseur sont mieux contrôlées.

Dans le cas des compresseurs mécaniques à contrôle interne, on utilise également le dispositif selon la présente invention pour estimer la puissance mécanique absorbée par le
30 compresseur. Toutefois, pour ce type de compresseur, cette puissance estimée est utilisée pour débrayer le compresseur afin de réduire le débit massique de fluide frigorigène absorbé par le compresseur.

Dans une deuxième forme de réalisation, le compresseur est un compresseur électrique. Le dispositif selon cette deuxième a pour objet d'estimer la haute pression et à partir de cette valeur d'estimer la valeur de la puissance électrique absorbée par le compresseur.

- 5 C'est encore un but de cette deuxième forme de réalisation de réaliser une anticipation de commande de vitesse de rotation.

La figure 7 représente un schéma de compresseur électrique. Le compresseur électrique 14 est actionné par un moteur électrique 140 intégré par des moyens de commande appropriés
10 et est alimenté par une source électrique 142 de type batterie. Cette source transmet de l'énergie au compresseur via un convertisseur de fréquence 141.

Dans les compresseurs électriques, la cylindrée est fixe, ce qui permet de connaître simplement la puissance électrique instantanée absorbée par le compresseur, conformément
15 à l'équation de l'annexe A4.

Les compresseurs électriques comprennent des limiteurs de puissance absorbée, pour couper la climatisation dans le cas où la valeur instantanée de la puissance absorbée est supérieure à la puissance nominale. Mais ces limiteurs interviennent après que la puissance
20 nominale soit atteinte, et n'anticipe donc pas le dépassement.

Il est connu que le débit massique du fluide varie en fonction de la vitesse de rotation. Or, les relations existantes ne permettent de déduire la puissance électrique absorbée par le compresseur qu'en fonction des variations de la haute pression.
25

Une solution, selon l'invention, consiste à calculer la valeur de la haute pression à partir de la variation du débit massique pour estimer la valeur de la puissance électrique absorbée, dans le cadre d'une anticipation.

30 Avantageusement, la Demanderesse a utilisé la relation de l'annexe A1 qui lie le débit massique du fluide frigorigène aux des paramètres liés au fonctionnement de l'appareil de

climatisation et au fonctionnement du véhicule, pour estimer cette valeur de la haute pression HP.

Les figures 1 à 3 s'appliquent également à cette forme de réalisation.

5

La carte électronique reçoit des informations du calculateur 42 et de l'appareil de climatisation 10 pour résoudre l'équation de l'annexe A1. Le calculateur transmet à la carte électronique la valeur du débit massique du fluide, la vitesse d'avancement du véhicule et la tension du groupe moto-ventilateur. L'appareil de climatisation transmet à la carte électronique, la valeur de la température de l'air à l'entrée du condenseur T_{ack} , mesurée comme décrit précédemment (figures 2 et 3).

La carte électronique peut alors calculer une estimation de la valeur de la température de condensation T_k selon l'annexe A1. La température de condensation T_k étant liée à la haute pression HP par la loi de saturation des fluides, la carte électronique en déduit, par un simple calcul, la valeur de la haute pression HP.

Le dispositif est alors capable d'estimer la puissance électrique absorbée par le compresseur, dans le cadre d'une anticipation de commande de vitesse. En référence à l'annexe A4, la puissance est liée au rapport de compression, donc à la haute pression HP et à la basse pression BP, ainsi qu'à la vitesse de rotation N du compresseur 14.

Le capteur 22 de la figure 2 (ou le capteur 122 de la figure 3) mesure la valeur instantanée de la basse pression et la transmet à la carte électronique (par la liaison 30). Le calculateur transmet à la carte électronique la valeur de la vitesse de rotation N.

La carte électronique peut alors associer ces valeurs à la valeur de la haute pression HP pour en déduire la valeur de la puissance électrique absorbée par le compresseur.

Dans cette forme de réalisation, la puissance mécanique absorbée par un compresseur électrique est estimée pour anticiper le dépassement d'une puissance électrique maximale.

L'estimation permet au compresseur de ne jamais atteindre une zone où l'efficacité du compresseur est très mauvaise. Cette anticipation est possible car le dispositif permet de prédire la valeur de la haute pression que l'on obtiendrait en augmentant le débit massique absorbé par le compresseur, ce qui fournit une estimation de la valeur de la vitesse de rotation à ne pas dépasser.

La figure 8 représente un organigramme d'anticipation de commande de vitesse de rotation. Les équations correspondantes sont indiquées, en partie, dans les annexes A4 à A6.

Les capteurs 22 (ou 122) et 23 (ou 123) mesurent des valeurs initiales de la basse pression BP0 et de la haute pression HP0 et les transmettent à la carte électronique. Le calculateur d'injection 42 fournit à la carte électronique les valeurs de la vitesse de rotation N0 et du débit massique du fluide m0. Les valeurs HP0, BP0, N0 et m0 sont obtenue lors de l'étape initiale 100. Au cours de cette étape la carte électronique calcule en outre la valeur de la puissance électrique Pel0, à partir de Hp0 et Bp0. La carte électronique fixe également la valeur d'un coefficient, dit facteur de relaxation α_0 , à 1. Les valeurs HP0, BP0, N0, m0, Pel0 et α_0 constituent l'état initial.

L'organigramme de la figure 8 est itératif et comportent donc différents états repérés par l'indice j.

A l'étape 102 correspondant à un état j, la carte augmente la vitesse de rotation du compresseur d'une quantité fixée par le régulateur de climatisation, modulée par le facteur de relaxation α_{j-1} , comme indiqué dans l'annexe A5.

On passe alors à l'étape 104 pour calculer la valeur correspondante du débit massique mj. Elle se déduit simplement de la variation de la vitesse de rotation dN_j et de sa valeur N_j calculée à l'étape 102 et de la valeur précédente du débit massique m_{j-1} (annexe A6).

A l'étape 106, la carte électronique peut alors calculer la nouvelle valeur de la haute pression HPj conformément à la relation de l'annexe A1 et tel que décrit ci-dessus.

Cette méthode d'anticipation néglige les variations de la basse pression ($BP_j = BP_0$). A partir de la nouvelle valeur de HP_j et de la valeur de BP , la carte électronique calcule, à l'étape 108, la nouvelle valeur de la puissance électrique P_{ej} , c'est-à-dire, celle qu'on atteindrait si la vitesse de rotation augmentait de dN_j .

5

A l'étape 110, la carte électronique compare P_{ej} à la puissance maximale du compresseur. Si P_{ej} est supérieure à cette puissance, la valeur de la vitesse de rotation maximale à ne pas dépasser est N_j et l'itération est terminée. Dans le cas contraire, la carte électronique reprend les étapes 102 à 110, après avoir réduit α_{j-1} et incrémenté j . α_j se déduit de α_{j-1} et des valeurs de P_{ej} et P_{ej-1} , comme indiqué dans l'annexe A5.

10

L'estimation de cette vitesse de rotation est alors utilisée pour réguler le fonctionnement de la climatisation.

15 L'anticipation de la commande de vitesse, telle que décrite ci-dessus, utilise à chaque itération une variation de la vitesse de rotation dN_j choisie ici à titre d'exemple. L'invention n'est pas limitée à ce pas d'augmentation de la vitesse de rotation.

Par ailleurs, la présente invention vise également le code logiciel qu'elle fait intervenir, tout
20 particulièrement lorsqu'il est mis à disposition sur tout support lisible sur un ordinateur. L'expression "support lisible par ordinateur" couvre un support de stockage, par exemple magnétique ou optique, aussi bien qu'un moyen de transmission, tel qu'un signal numérique ou analogique.

Annexe AA1. Mesure du débit massique d'un fluide frigorigène

$$5 \quad m = A.(T_k - T_{ack})$$

$$A = K_s.[\Delta H_{cdr} (1 + K_s/(2.m_a.C_{pa}))]^{-1}$$

10 A2. Estimation du travail de compression fourni par le compresseur

$$W_{is} = B.(P_r^{(k-1)/k} - 1)$$

15 A3. Estimation de la puissance mécanique absorbée par la climatisation

$$P_a = C.m.W_{is} + D.N$$

$$W_{is} = E.(P_r^{(k-1)/k} - 1)$$

20

A4. Estimation de la puissance électrique absorbée par la climatisation

$$P_{el} = (W_{el})'$$

25

$$W_{el} = (F.W_{is} + G.N / r)$$

$$r = F_1 - F_2.Pr - F_3(N)$$

30 A5. Variation de la vitesse de rotation

$$N_j = N_{j-1} + \alpha_j.dN_0$$

$$\alpha_j = \alpha_{j-1} \cdot P_{clj} / P_{clj-1}$$

A6. Estimation du débit massique à partir de la variation de la vitesse de rotation

5

$$dm_j = m_{j-1} \cdot dN_j / N_j$$

Revendications

1. Installation de climatisation pour véhicule à moteur muni d'un calculateur d'injection (42),
- 5 l'installation comprenant un circuit fermé de fluide frigorigène comprenant un compresseur (14), un condenseur (11), un détendeur (12) et un évaporateur (13), le condenseur recevant un flux d'air passant par un groupe moto-ventilateur (15), ainsi qu'un dispositif électronique de contrôle (401) destiné à interagir avec le circuit fermé de fluide frigorigène (10) et le calculateur d'injection (42),
- 10 caractérisée en ce qu'il comprend des organes de mesures permettant d'établir :
- une première valeur relative à la température du flux d'air extérieur à l'entrée du condenseur (T_{ack}),
 - 15 - une deuxième valeur relative à la pression en sortie du compresseur, dite haute pression (HP),
 - une troisième valeur relative à la pression en entrée du compresseur, dite basse pression (BP),
- 20 le dispositif électronique de contrôle (401) étant apte à mettre en oeuvre la résolution d'une équation linéaire, liant le débit massique du fluide frigorigène (m) aux valeurs mesurées par le premier et le deuxième organe de mesure pour calculer une estimation d'une grandeur relative au fluide frigorigène et pour estimer, à partir de cette grandeur, des mesures fournies par les dits organes de mesure et des informations transmises par le calculateur d'injection
- 25 (42), la puissance absorbée par le compresseur (14).
2. Installation de climatisation selon la revendication 1, caractérisée en ce que le compresseur est un compresseur mécanique et en ce que la grandeur calculée par le dispositif électronique de contrôle est le débit massique du fluide frigorigène (m).

3. Installation de climatisation selon la revendication 1, caractérisée en ce que le compresseur est un compresseur électrique et en ce que la grandeur calculée par le dispositif électronique de contrôle est la haute pression (HP) du fluide frigorigène.
- 5 4. Installation de climatisation selon la revendication 1, caractérisée en ce que le premier organe de mesure, est une sonde (24), placée entre le groupe moto-ventilateur (15) et le condenseur (11), qui fournit une mesure de la valeur de la température du flux d'air extérieur à l'entrée du condenseur (T_{ack}).
- 10 5. Installation de climatisation selon la revendication 1, caractérisée en ce que le premier organe de mesure est une sonde liée au calculateur d'injection (42) qui fournit une mesure de la valeur de la température du flux d'air extérieur (T_{ext}).
- 15 6. Installation de climatisation selon la revendication 5, caractérisée en ce que le dispositif électronique de contrôle (401) est apte à calculer une estimation de la valeur de la température du flux d'air extérieur à l'entrée du condenseur (T_{ack}), à partir de la valeur de la température de l'air extérieur (T_{ext}) et de la valeur de la vitesse d'avancement (V_v) du véhicule fournies par le calculateur d'injection (42).
- 20 7. Installation de climatisation selon la revendication 1, caractérisée en ce que le deuxième organe de mesure est une sonde (23) placée à l'entrée du condenseur (11) directement au sein du fluide frigorigène, qui fournit une mesure de la valeur de la température de condensation (T_c).
- 25 8. Installation de climatisation selon la revendication 7, caractérisée en ce que le dispositif électronique de contrôle (401) est apte à calculer la valeur de la haute pression (HP) à partir de la valeur de la température de condensation (T_c) fournie par le deuxième organe de mesure.
- 30 9. Installation de climatisation selon la revendication 1, caractérisée en ce que le deuxième organe de mesure est un capteur (123), placé entre la sortie du compresseur (14) et l'entrée du condenseur (11), qui mesure directement la valeur instantanée de la haute pression (HP).

10. Installation de climatisation selon la revendication 1, caractérisée en ce que le deuxième organe de mesure est un capteur (123), placé entre la sortie du condenseur (11) et l'entrée du détendeur (12), destiné à mesurer directement la valeur instantanée de la haute pression (HP).

5

11. Installation de climatisation selon l'une des revendications 9 et 10, caractérisée en ce que le dispositif électronique de contrôle (401) est apte à calculer la valeur de la température de condensation (T_k), à partir de la valeur instantanée de la haute pression (HP) fournie par le deuxième organe de mesure.

10

12. Installation de climatisation selon la revendication 1, caractérisée en ce que le troisième organe de mesure est une sonde (122), placée dans les ailettes de l'évaporateur (13), qui fournit une mesure de la valeur instantanée de la température d'évaporation.

15

13. Installation de climatisation selon la revendication 1, caractérisée en ce que le troisième organe de mesure est une sonde (122), placée au sein du réfrigérant, qui fournit une mesure de la valeur instantanée de la température d'évaporation.

20

14. Installation de climatisation selon l'une des revendications 12 et 13, caractérisée en ce que le dispositif électronique de contrôle est apte à calculer la valeur de la basse pression (BP) à partir de la valeur instantanée de la température d'évaporation fournie par le troisième organe de mesure.

25

15. Installation de climatisation selon la revendication 1, caractérisée en ce que le troisième organe de mesure est un capteur (22), placé entre l'évaporateur (13) et le compresseur (14), qui fournit directement une mesure de la valeur instantanée de la basse pression (BP).

30

16. Installation de climatisation selon la revendication 2 prise en combinaison avec l'une des revendications 4 à 15, caractérisée en ce que le dispositif électronique de contrôle (401) est apte à calculer une estimation du débit massique du fluide frigorigène à partir des valeurs mesurées par le premier et le deuxième organe de mesure et de deux informations relatives au fonctionnement du véhicule, transmises par le calculateur d'injection (42).

17. Installation de climatisation selon la revendication 16, caractérisée en ce que les informations relatives au fonctionnement du véhicule sont liées à la vitesse d'avancement du véhicule et à la tension du groupe moto-ventilateur.

5

18. Installation de climatisation selon la revendication 16, caractérisée en ce que le dispositif électronique de contrôle (401) est apte à calculer la puissance absorbée par le compresseur à partir de l'estimation du débit massique calculée, des valeurs mesurées par le deuxième et le troisième organe de mesure, et d'informations relatives au fonctionnement du véhicule, fournies par le calculateur d'injection (42).

10

19. Installation de climatisation selon la revendication 18, caractérisée en ce que les informations relatives au fonctionnement du véhicule sont liées à la vitesse de rotation du compresseur.

15

20. Installation de climatisation selon la revendication 3 prise en combinaison avec l'une des revendications 4 à 15, caractérisée en ce que le dispositif électronique de contrôle (401) est apte à calculer une estimation de la haute pression (HP) du fluide frigorigène à partir de la valeur mesurée par le premier organe de mesure, de la valeur du débit massique du fluide frigorigène et de deux informations relatives au fonctionnement du véhicule, transmises par le calculateur d'injection (42).

20

21. Installation de climatisation selon la revendication 20, caractérisée en ce que les informations relatives au fonctionnement du véhicule sont liées à la vitesse d'avancement du véhicule et à la tension du groupe moto-ventilateur.

25

22. Installation de climatisation selon la revendication 20, caractérisée en ce que le dispositif électronique de contrôle (401) est apte à calculer la puissance absorbée par le compresseur à partir de l'estimation de la haute pression (HP) calculée, de la valeur mesurée par le troisième organe de mesure, et d'informations relatives au fonctionnement du véhicule, fournies par le calculateur d'injection (42).

30

23. Installation de climatisation selon la revendication 22, caractérisée en ce que les informations relatives au fonctionnement du véhicule sont liées à la vitesse de rotation du compresseur.
- 5 24. Installation de climatisation selon les revendications 20 à 23, caractérisée en ce que le dispositif électronique de contrôle est capable, pour un état de départ donné, de calculer itérativement des valeurs de la puissance absorbée par le compresseur, à partir de valeurs de la haute pression correspondant à de petites variations choisies de la vitesse de rotation pour estimer la vitesse de rotation maximale.
- 10 25. Installation de climatisation selon la revendication 24, caractérisée en ce que les valeurs de la haute pression sont calculées à partir des valeurs successives du débit massique du fluide frigorigène, calculées en fonction des petites variations de la vitesse de rotation.
- 15 26. Installation de climatisation selon la revendication 25, caractérisée en ce que l'état de départ comprend les valeurs de la haute pression (HP) et de la basse pression (BP), mesurées par le deuxième et le troisième organe de mesures, correspondant à une vitesse de rotation initiale.

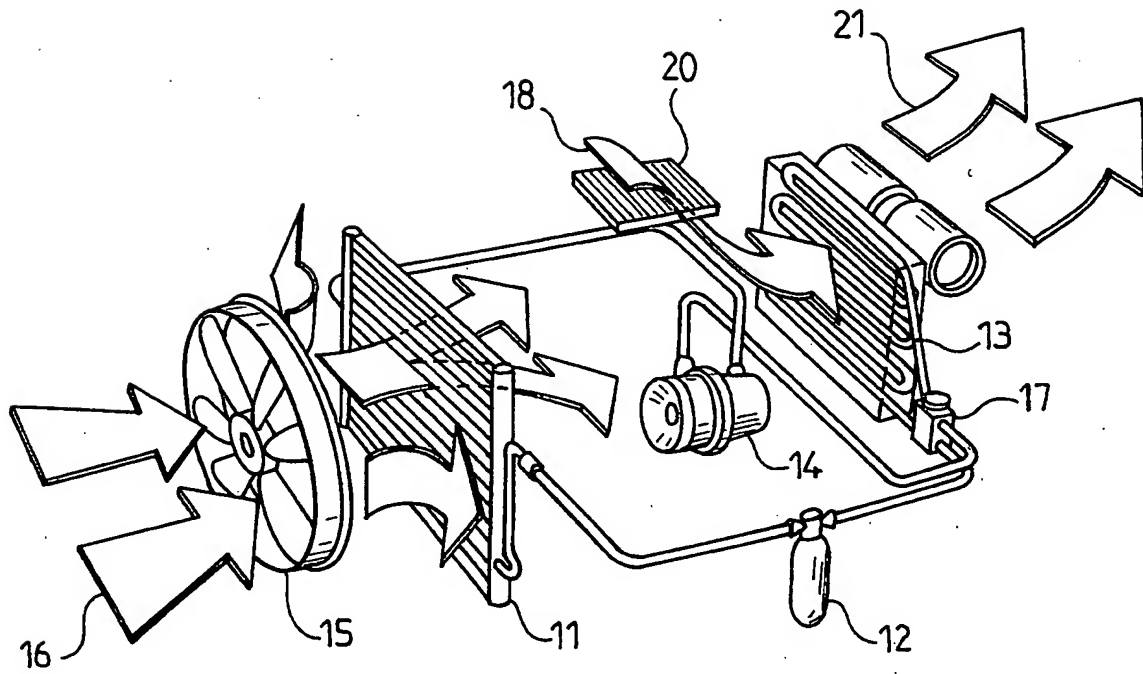


FIG. 1

2/7

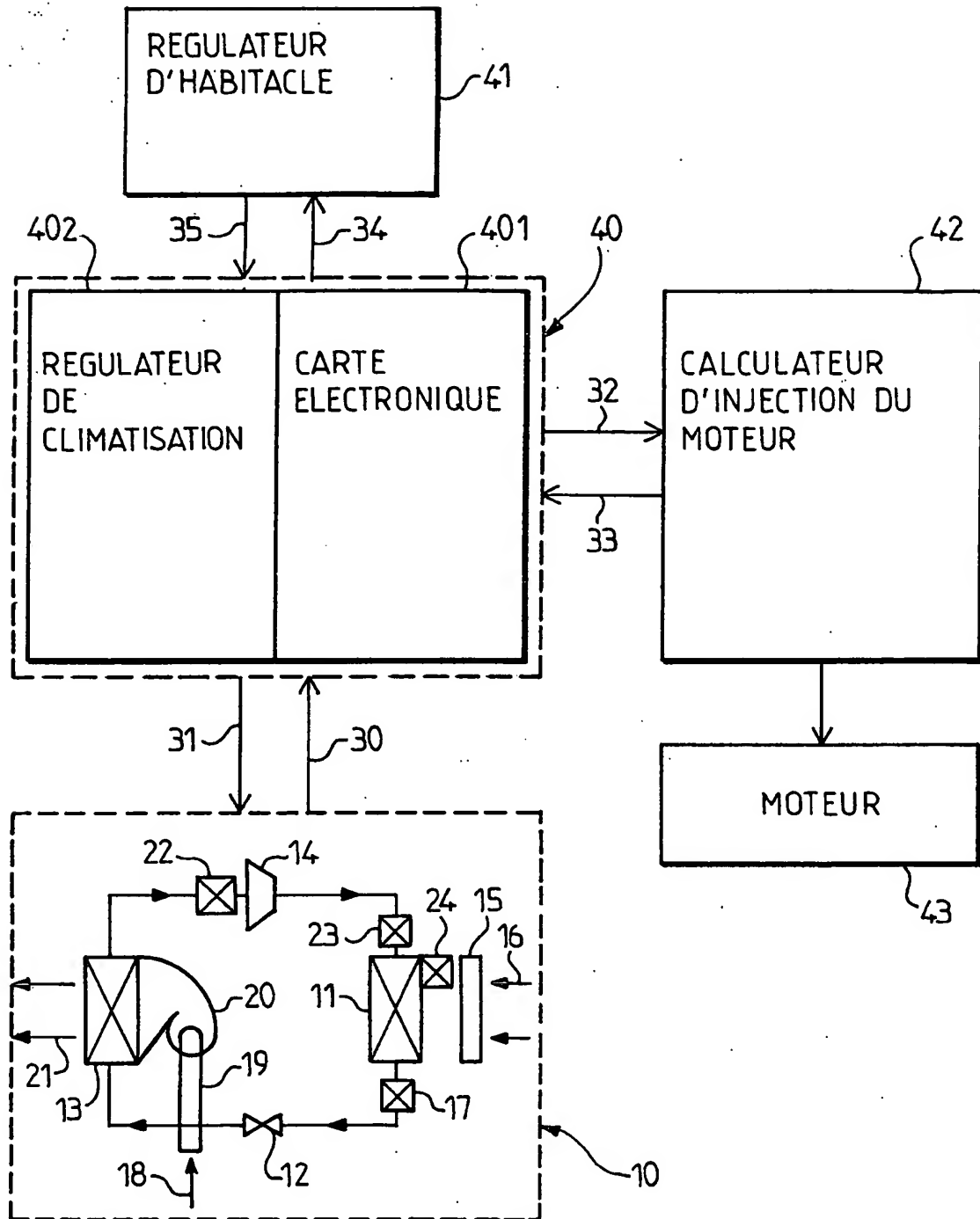


FIG. 2

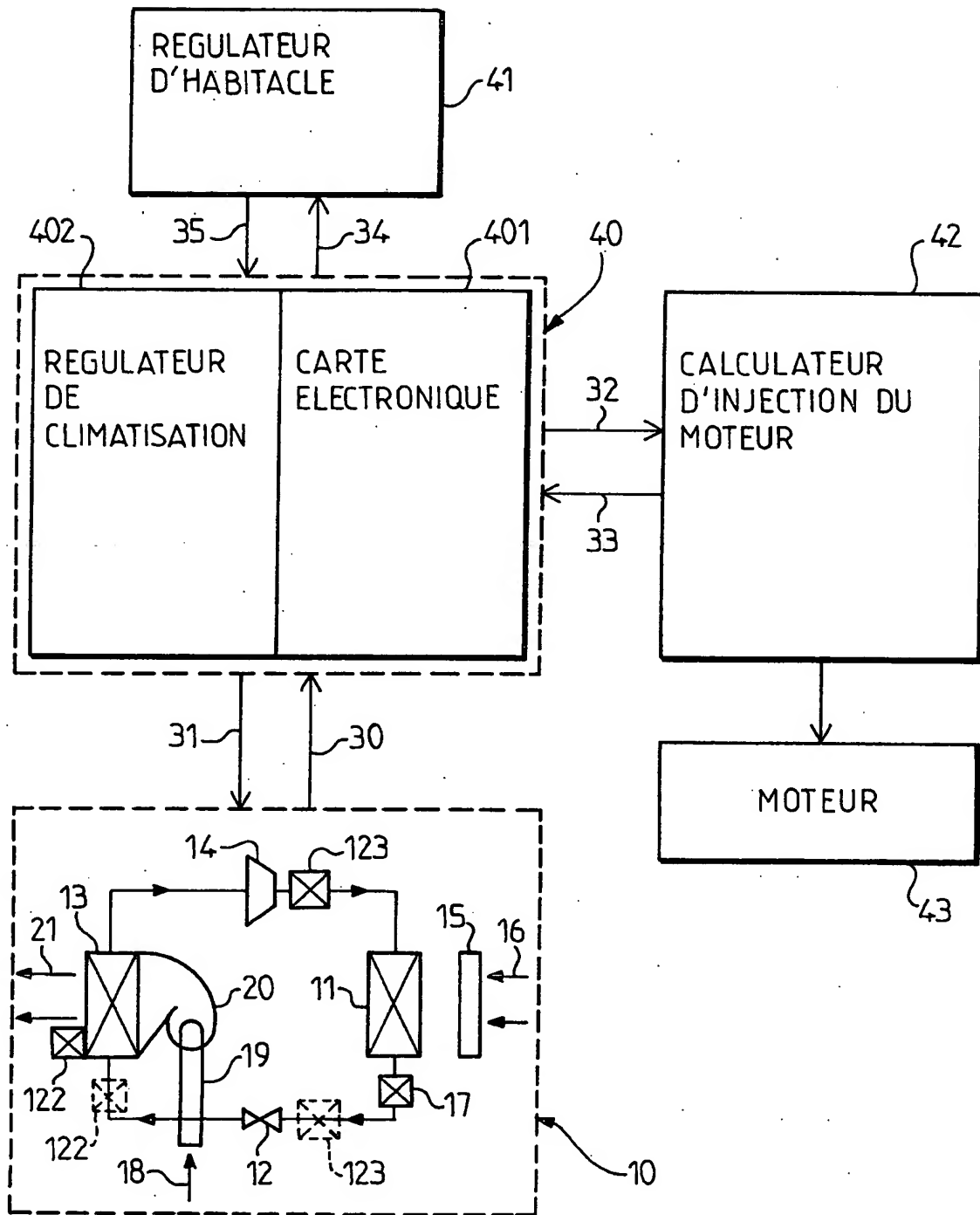


FIG.3

4/7

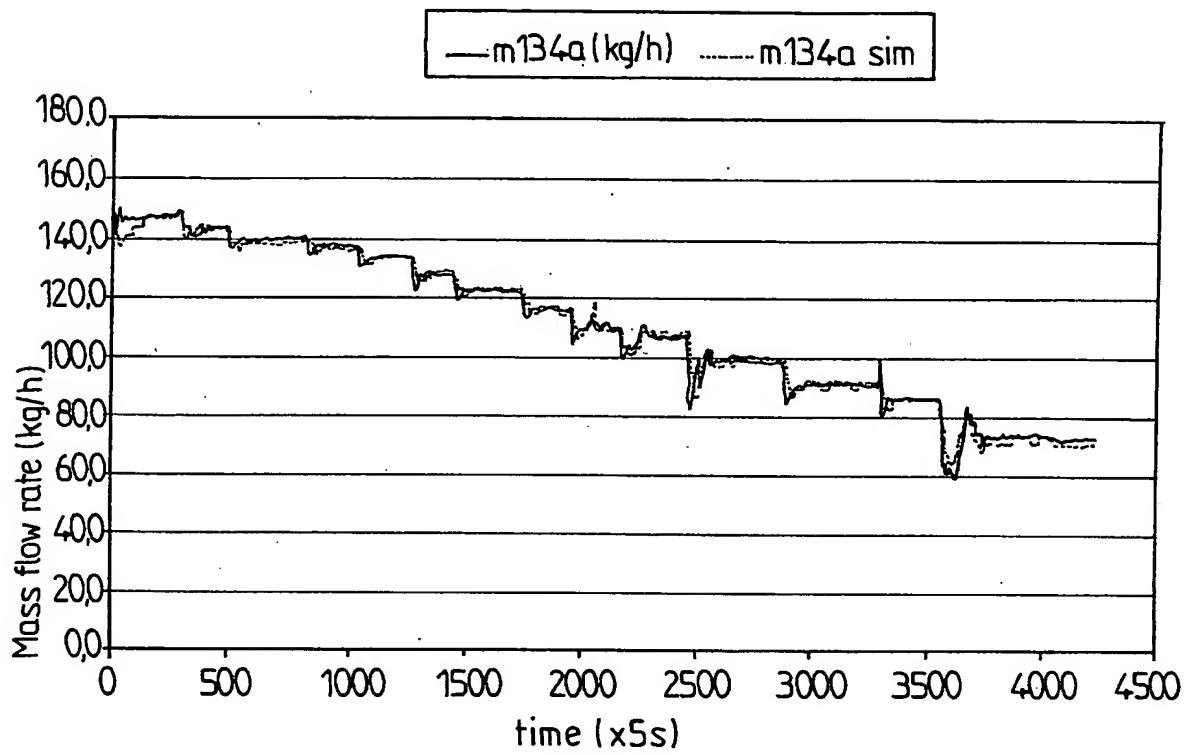


FIG.4

5/7

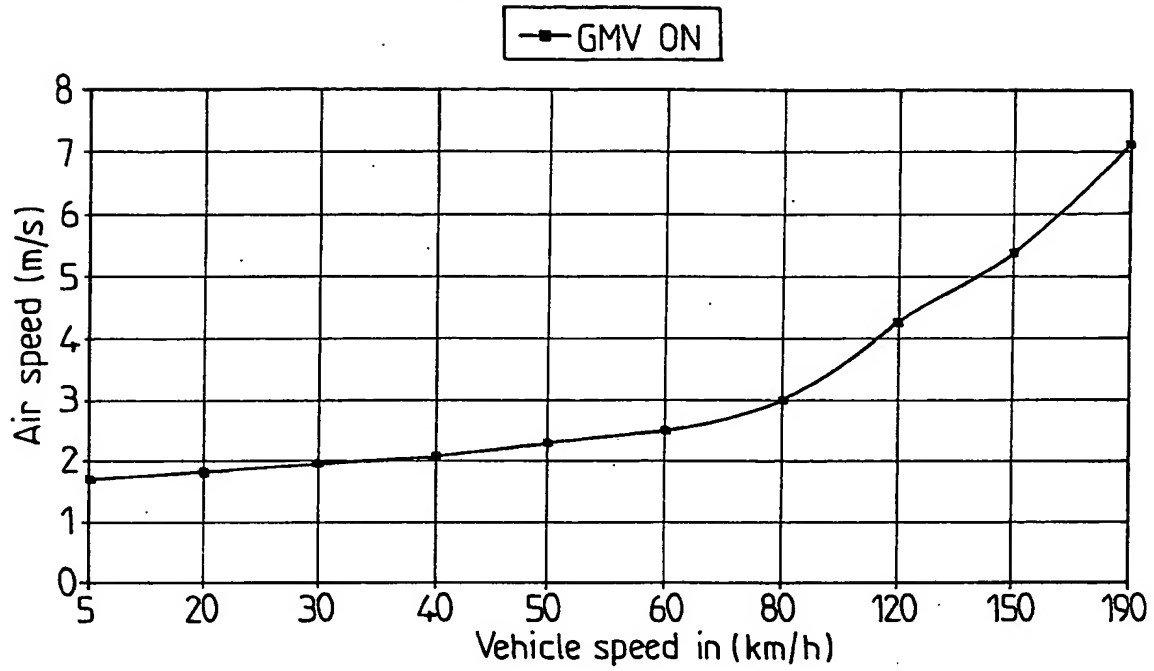


FIG.5

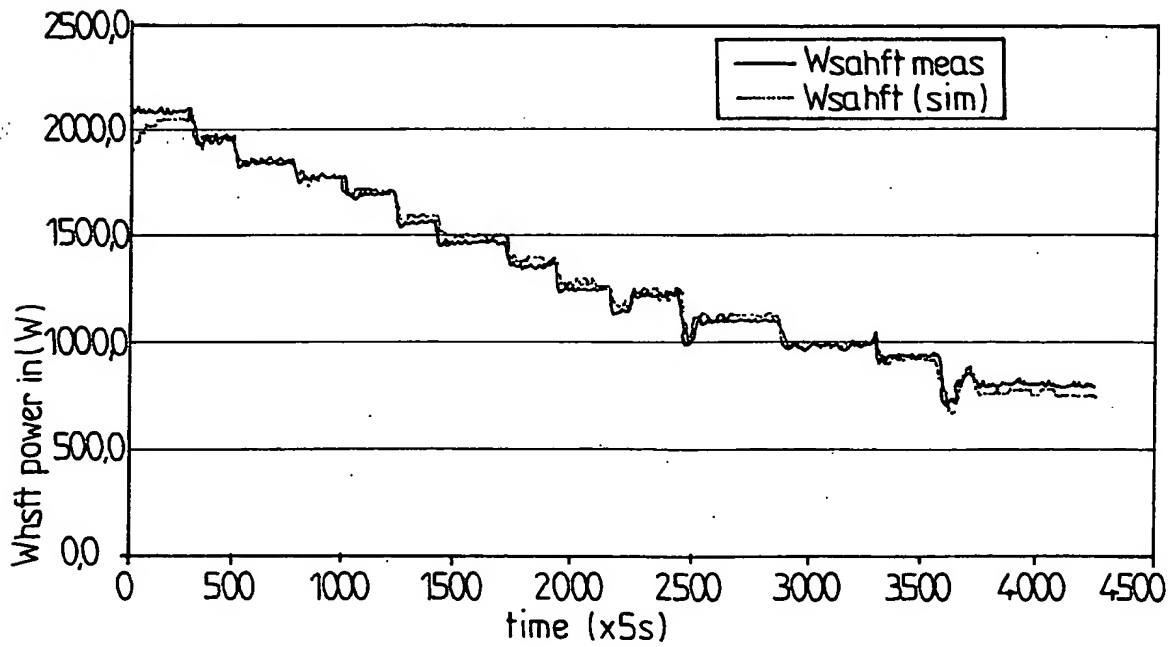


FIG.6

6/7

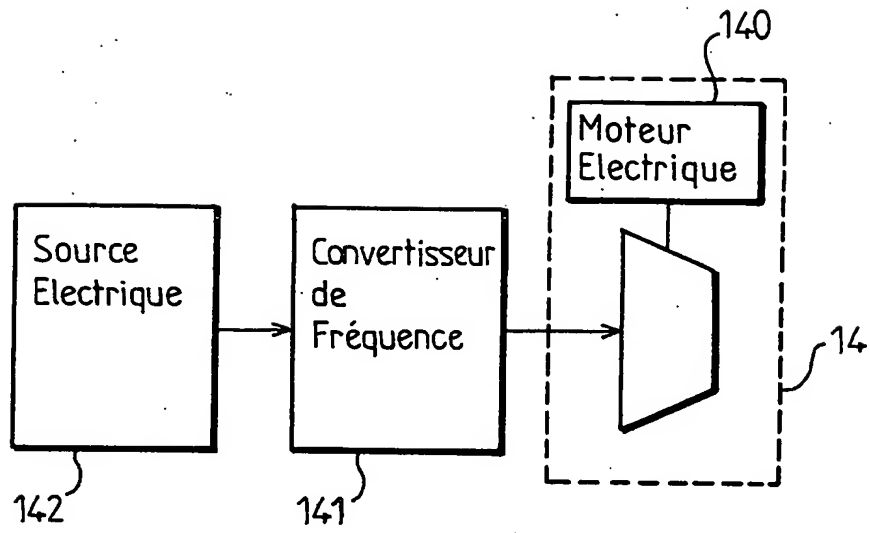


FIG.7

7/7

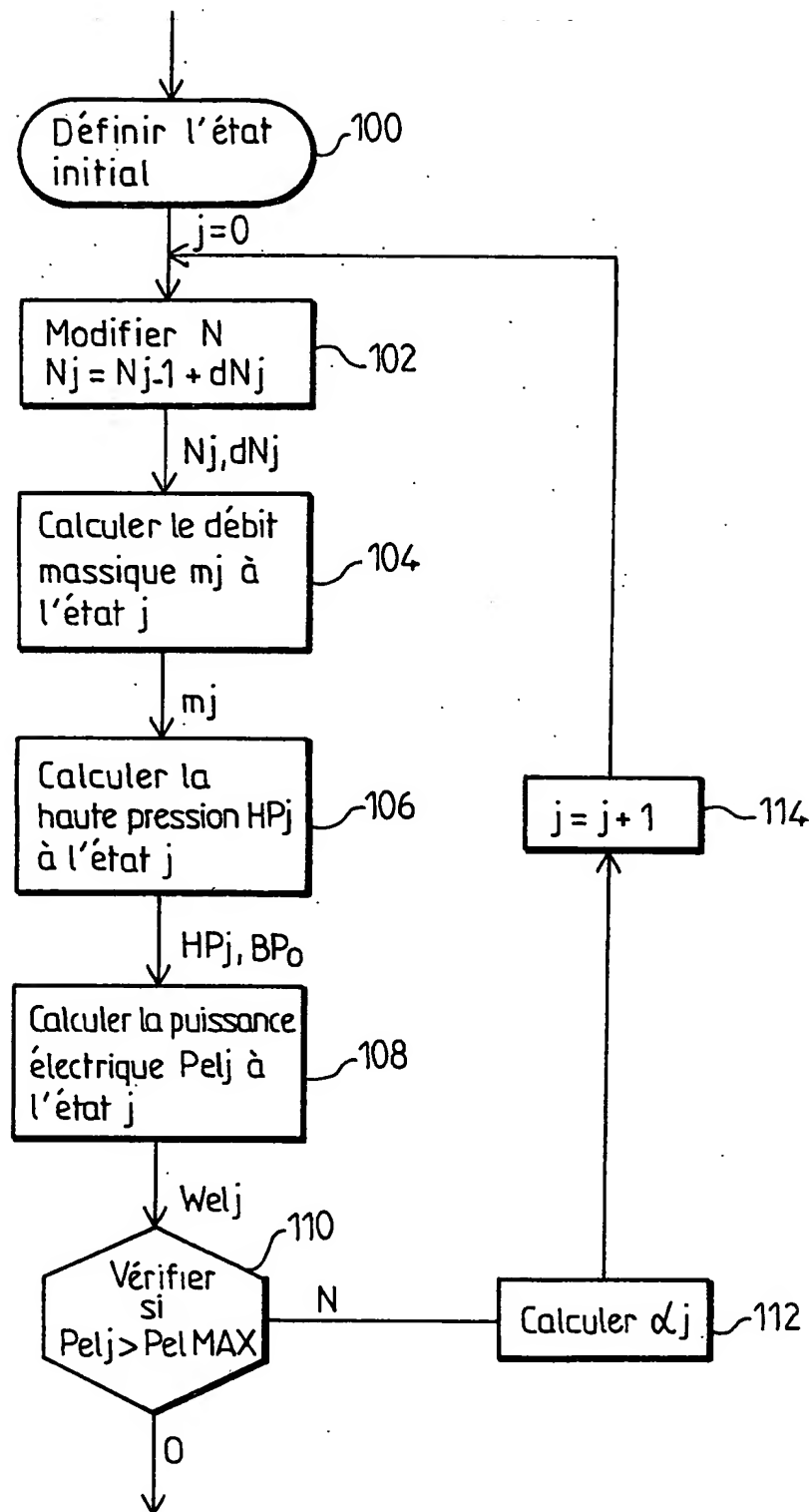


FIG. 8



2833886

RAPPORT DE RECHERCHE PRÉLIMINAIRE

N° d'enregistrement
national

établi sur la base des dernières revendications
déposées avant le commencement de la recherche

FA 616999
FR 0116568

DOCUMENTS CONSIDÉRÉS COMME PERTINENTS		Revendication(s) concernée(s)	Classement attribué à l'invention par l'INPI
Catégorie	Citation du document avec indication, en cas de besoin, des parties pertinentes		
X	DE 100 53 438 A (SANDEN CORP) 10 mai 2001 (2001-05-10) * page 2, ligne 1 - ligne 52 * * page 3, ligne 8 - page 4, ligne 8 * * page 5, ligne 51 - page 8, ligne 60 * * figures 1-3, 5-7, 9-13 *	1, 4, 9, 15	B60H1/00
A	US 5 893 272 A (SALZER WERNER ET AL) 13 avril 1999 (1999-04-13) * colonne 1, ligne 1 - colonne 4, ligne 20; figure 2 *	1	
A	US 6 119 473 A (KISHITA HIROSHI ET AL) 19 septembre 2000 (2000-09-19) * colonne 1, ligne 1 - colonne 3, ligne 10 * * colonne 4, ligne 12 - ligne 67 * * revendications 1, 2 *	1	
			DOMAINES TECHNIQUES RECHERCHÉS (Int.CL.7)
			B60H
Date d'achèvement de la recherche		Examineur	
10 septembre 2002		van der Bijl, S	
CATÉGORIE DES DOCUMENTS CITÉS X : particulièrement pertinent à lui seul Y : particulièrement pertinent en combinaison avec un autre document de la même catégorie A : arrière-plan technologique O : divulgation non-écrite P : document intercalaire T : théorie ou principe à la base de l'invention E : document de brevet bénéficiant d'une date antérieure à la date de dépôt et qui n'a été publié qu'à cette date de dépôt ou qu'à une date postérieure. D : cité dans la demande L : cité pour d'autres raisons & : membre de la même famille, document correspondant			

1

**ANNEXE AU RAPPORT DE RECHERCHE PRÉLIMINAIRE
RELATIF A LA DEMANDE DE BREVET FRANÇAIS NO. FR 0116568 FA 616999**

La présente annexe indique les membres de la famille de brevets relatifs aux documents brevets cités dans le rapport de recherche préliminaire visé ci-dessus.
Les dits membres sont contenus au fichier informatique de l'Office européen des brevets à la date du 10-09-2002
Les renseignements fournis sont donnés à titre indicatif et n'engagent pas la responsabilité de l'Office européen des brevets, ni de l'Administration française

Document brevet cité au rapport de recherche		Date de publication	Membre(s) de la famille de brevet(s)	Date de publication
DE 10053438	A	10-05-2001	JP 2001121950 A	08-05-2001
			JP 2001121954 A	08-05-2001
			DE 10053438 A1	10-05-2001
			FR 2801844 A1	08-06-2001
US 5893272	A	13-04-1999	DE 19642832 C1	18-09-1997
			JP 2992951 B2	20-12-1999
			JP 10181344 A	07-07-1998
US 6119473	A	19-09-2000	JP 11078510 A	23-03-1999
			DE 19831792 A1	21-01-1999